

- [1] D. R. Childs. JQSRT, 4, 283, 1964.
- [2] J. F. M. Aaarts, C. I. M. Beenakker, F. J. De Heer. Physica, 53, 32, 1971.
- [3] R. A. Vroom, F. J. De Heer. J. Chem. Phys., 50, 573, 1969.
- [4] И. В. Сушанин, В. И. Король, С. М. Кишко. Тез. докл. V Все-союзн. конф. по физике электронных и атомных столкновений, стр. 46. Ужгород, 1972.
- [5] H. A. Bethe. Ann. Phys., 5, 325, 1930.
- [6] W. F. Miller, R. L. Platzman. Proc. Phys. Soc., 70A, 299, 1957.

Поступило в Редакцию 18 июня 1973 г.

УДК 621.373 : 535

НЕСИНХРОНИЗОВАННЫЙ ДВУХМОДОВЫЙ РЕЖИМ ГЕНЕРАЦИИ В КОЛЬЦЕВОМ ГАЗОВОМ ЛАЗЕРЕ

В. А. Соколов и Э. Е. Фрадкин

В данной работе рассматривается кольцевой оптический лазер, в котором возбуждены две ортогональные линейно поляризованные моды. Активной средой является газовая смесь с равноизотопным составом. Пусть одна мода поляризована по направлению X (направление электрического вектора), другая — по Y , Z и $-Z$ — направления распространения бегущих волн. Тогда расщепление резонаторных частот встречных волн каждой моды, вызванное внесением невязимого элемента (Δ) и вращением (Ω), имеет вид

$$\left. \begin{aligned} \Delta v_x &= v_{xz} - v_{x-z} = \Omega - \Delta, \\ \Delta v_y &= v_{yz} - v_{y-z} = \Omega + \Delta. \end{aligned} \right\} \quad (1)$$

Четырехволновым синхронизованным режимом генерации (ЧСРГ) мы называем такой режим генерации, когда

$$\left. \begin{aligned} \omega_{xy} &= \Delta\omega_x - \Delta\omega_y = 0, \\ v_{xy}^2 &= (\Delta v_x - \Delta v_y)^2 \approx \Delta v_{\text{захв.}}^2 \end{aligned} \right\} \quad (2)$$

где $\Delta\omega_p = \omega_{pz} - \omega_{p-z}$ — расщепление частот встречных волн моды p ($p = x, y$) [2]. Четырехволновым несинхронизованным режимом генерации (ЧНРГ) будем называть такой режим генерации, когда

$$\left. \begin{aligned} \omega_{xy} &= \Delta\omega_x - \Delta\omega_y \neq 0, \\ v_{xy}^2 &= (\Delta v_x - \Delta v_y)^2 \gg \Delta v_{\text{захв.}}^2 \end{aligned} \right\} \quad (3)$$

В случае (3) система амплитудных и фазовых (частотных) уравнений, усредненная за время наблюдения $T \gg (1/\gamma_{ab}; 1/\omega_{xy})$ [2], выглядит следующим образом [$p \neq p' = (x, y)$]:

$$\left. \begin{aligned} \frac{dI_p^+}{dt} &= I_p^+ (2\alpha_p - \beta_p I_p^+ - \chi_{pp'} I_{p'}^+), \\ \frac{dI_p^-}{dt} &= 2\alpha_p I_p^- - 2 \left(\Delta\alpha_p + \frac{\Re_p}{\Delta v_p} \right) I_p^+ - 2\beta_p I_p^+ I_p^- - \chi_{pp'} (I_p^+ I_{p'}^- + I_p^- I_{p'}^+), \\ \Delta\omega_p &= \Delta v_p + \Delta\sigma_p + \frac{2\Re_p}{\Delta v_p} + \lambda_{pp'} I_{p'}^-, \end{aligned} \right\} \quad (4)$$

где γ_{ab} — однородная полуширина линии, $\alpha_p = (1/2) (\alpha_{pz} + \alpha_{p-z})$, $\Delta\alpha_p = (1/2) (\alpha_{pz} - \alpha_{p-z})$, $\Delta\sigma_p = \sigma_{pz} - \sigma_{p-z}$, α_{pz} , σ_{pz} , β_p , $\chi_{pp'}$, $\lambda_{pp'}$ — коэффициенты линейных взаимодействий бегущих волн. $(r_{pz} r_{p-z}) = \Re_p + i\Im_p$, r_{pz} — коэффициенты обратного рассеяния волны, распространяющейся в направлении z , моды $p = (x, y)$ во встречную волну той же моды, I_p^+ и I_p^- — соответственно сумма и разность квазинтенсивностей нормальных колебаний (см. работу [2]). Введение нормальных колебаний существенно упрощает исследование задачи о четырехволновой (двухмодовой) генерации при наличии обратного рассеяния встречных волн каждой моды [1]. Система (4) написана в приближении $\eta^2 = (\gamma_{ab}/ku)^2 \ll 1$.

Стационарные значения I_p^+ и I_p^- из (4) имеют вид

$$\left. \begin{aligned} I_p^+ &= \frac{2\alpha_p \beta_{p'} - 2\alpha_{p'} \chi_{pp'}}{\beta_p \beta_{p'} - \chi_{pp'} \chi_{pp'}}, \\ I_p^- &= \frac{2\left(\Delta\alpha_p + \frac{\mathfrak{M}_p}{\Delta\nu_p}\right)\beta_{p'} - 2\left(\Delta\alpha_{p'} + \frac{\mathfrak{M}_{p'}}{\Delta\nu_{p'}}\right)\chi_{pp'}}{\beta_p \beta_{p'} - \chi_{pp'} \chi_{pp'}} \end{aligned} \right\} (5)$$

где

$$\Delta\alpha_p = \delta\omega_p \left[\frac{\Delta Q_p}{Q_p} + \frac{\Delta\nu_p}{ku} \left(\frac{\omega_p - \omega_0}{ku} \right) \right], \quad \omega_p = \frac{1}{2}(\omega_{pz} + \omega_{p-z}), \quad \frac{\Delta Q_p}{Q_p} = \frac{Q_{pz} - Q_{p-z}}{Q_{pz} + Q_{p-z}}.$$

Исследуя систему (4) на устойчивость относительно малых возмущений, получим, что ЧНРГ устойчив при ограничении снизу на межмодовое расстояние $(\omega_x - \omega_y)$ практически во всей области двухмодовой генерации

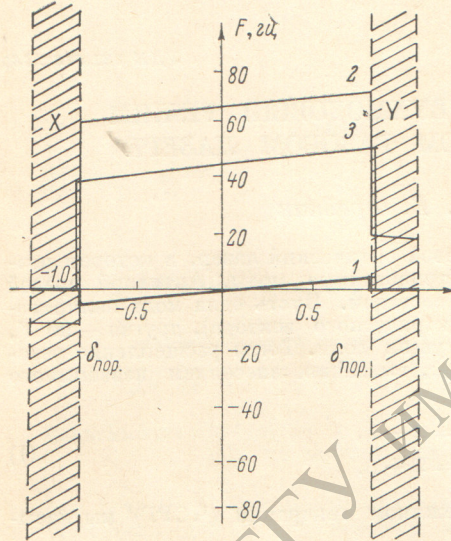


График величины F в зависимости от положения мод в контуре усиления δ . Цифрой 1 обозначен случай (7а), цифрой 2 — (7б), цифрой 3 — (7в).

мод в контуре усиления $\delta = (\omega_x + \omega_y - 2\omega_0)/(\omega_x - \omega_y)$ (ω_0 — центр суммарного контура усиления) при следующих значениях лазерных параметров:

$$\left. \begin{aligned} |\omega_x - \omega_y| &= 150 \text{ (МГц)}, & j_a &= 1, \quad j_b = 2, \\ \delta\omega_p &= 1 \text{ (МГц)}, & \gamma_a &\approx \gamma_b \equiv \gamma = 20 \text{ (МГц)}, \\ \gamma_{ab} &= 100 \text{ (МГц)}, & ku &= 1000 \text{ (МГц)}, \end{aligned} \right\} (7)$$

и трех случаях

$$\left. \begin{aligned} 1) \quad \Re_p &= \Im_p = 0, \\ \frac{\Delta Q_p}{Q_p} &= 0, \\ \Delta &= 20 \text{ (кГц)}, \\ \Omega &= 0, \\ p &= (x, y); \end{aligned} \right\} (7a)$$

$$\left. \begin{aligned} 2) \quad \Re_x &= \Re_y = 0, \\ \Re_x &= 90 \cdot 10^4 \text{ (Гц)}^2, \\ \Re_y &= 220 \cdot 10^4 \text{ (Гц)}^2, \\ \frac{\Delta Q_x}{Q_x} &= -\frac{\Delta Q_y}{Q_y} = 0.5 \cdot 10^{-4}, \\ \Delta &= 100 \text{ (кГц)}, \\ \Omega &= 10 \text{ (кГц)}; \end{aligned} \right\} (7б)$$

$$\left. \begin{aligned} 3) \quad \Re_p &= 0, \\ \Im_p &= 0, \\ \Delta &= 20 \text{ (кГц)}, \\ \Omega &= 0, \end{aligned} \right\} \left. \begin{aligned} \frac{\Delta Q_x}{Q_x} &= 0.5 \cdot 10^{-4}, \\ \frac{\Delta Q_y}{Q_y} &= -0.3 \cdot 10^{-4}, \\ p &= (x, y). \end{aligned} \right\} (7в)$$

$$\left. \begin{aligned} (\omega_x - \omega_y)^2 &> \frac{1}{8} f_0^2 \gamma_{ab}^2, \\ f_0 &= \left(\left[m^2 + 16 \left(\frac{2k_2}{k_1} - 1 \right) x^2 \right]^{1/2} - m \right), \\ m &= x^2 + \frac{2k_2}{k_1} x + 4 \left(1 - \frac{k_2}{k_1} \right), \end{aligned} \right\} (6)$$

где $x = \gamma/\gamma_{ab}$, $[(1/\gamma_a) \approx (1/\gamma_b) \equiv (1/\gamma)]$ — времена жизни рабочих уровней «а» и «б», k_1 и k_2 — суммы произведений $3j$ -символов Вигнера, зависящие от полных моментов атома j_a и j_b на уровнях «а» и «б».

В случае $|j_a - j_b| = 0$, $2k_2/k_1 > 1$ и нет ограничения снизу на межмодовое расстояние $(\omega_x - \omega_y)$. При $|j_a - j_b| = 1$, $2k_2/k_1 > 1$ [см. (7)]

$$\frac{2k_2}{k_1} = \frac{6j^2 + 12j + 5}{4j^2 + 8j + 5} > 1 \quad (7)$$

$$\frac{2k_2}{k_1} \equiv K(j, j+1) = K(j+1, j)$$

и ограничение (6) работает.

Построим «сигнал биений» $\omega = (1/2) \times (\Delta\omega_x + \Delta\omega_y)$ в зависимости от положения

На рисунке вместо ω по оси ординат отложена величина $F = \omega - \Omega - \sigma$, где $\sigma = (1/2)(\Delta\sigma_x + \Delta\sigma_y)$; в заштрихованных областях генерируют либо мода X, либо Y; $\delta_{пор.}$ — граница области существования двухмодового режима генерации; $-1 < \delta < 1$.

Литература

- [1] В. А. Веткин, А. М. Хромых. Опт. и спектр., 29, 765, 1970.
 [2] В. А. Соколов, Э. Е. Фрадкин. ЖТФ, 43, 2367, 1973.

Поступило в Редакцию 25 июня 1973 г.

УДК 535.34 : 621.373 : 535.01

НЕЛИНЕЙНОЕ ПОГЛОЩЕНИЕ СЛАБОГО ПОЛЯ В ПРИСУТСТВИИ СИЛЬНОГО ДЛЯ СЛУЧАЯ РЕЗОНАНСНОЙ ФЛУОРЕСЦЕНЦИИ

Г. Я. Попова

1. При резонансном взаимодействии сильного поля с газом атомов или молекул представляет интерес случай, когда один из уровней является основным (или близким к основному). В большинстве работ рассматривались переходы между возбужденными состояниями, при этом пренебрегалось радиационной вероятностью перехода и эффекты сильного поля определялись параметром насыщения x

$$x = \frac{|G|^2}{\Gamma} \left(\frac{1}{\gamma_m} + \frac{1}{\gamma_n} \right). \quad (1)$$

Здесь γ_m и γ_n — обратные времена жизни верхнего и нижнего уровней соответственно; Γ — полуширина линии ($\Gamma = (\gamma_m + \gamma_n)/2 + \nu_{ст.}$, $\nu_{ст.}$ — частота столкновений, $G = d_{mn}E/2\hbar$, d_{mn} — матричный элемент дипольного момента перехода, $m \rightarrow n$ резонансного сильного поля с амплитудой E .

В выражении (1) переход к случаю основного состояния невозможен, так как при $\gamma_n \rightarrow 0$ x обращается в бесконечность. Поэтому необходимо учесть радиационную вероятность перехода γ_0 .

Параметр насыщения с учетом γ_0 приведен в нашей работе [1]

$$x = \frac{|G|^2}{\Gamma} \left(\frac{1}{\gamma_m} + \frac{1}{\gamma_n} - \frac{\gamma_0}{\gamma_m \gamma_n} \right). \quad (2)$$

Для перехода к случаю резонансной флуоресценции нужно положить в (2) $\gamma_n \rightarrow 0$ и $\gamma_m \rightarrow \gamma_0$, что дает

$$x = \frac{2|G|^2}{\Gamma\gamma_0}, \quad (3)$$

где

$$\Gamma = (\gamma_0/2) + \nu_{ст.}$$

В работах [1, 2] исследовались особенности в спектрах испускания и поглощения газов, помещенных в сильное электромагнитное поле, связанные со следующими явлениями: образованием неравновесного распределения по скоростям, расщеплением уровней в сильном поле, нелинейными интерференционными эффектами. Представляет интерес проследить эти особенности для случая резонансной флуоресценции.

В настоящем сообщении мы рассмотрим лишь коэффициент поглощения слабой бегущей волны частоты ω_p в присутствии сильной частоты ω , распространяющейся в том же направлении. (Для случая $\gamma_0 \ll \gamma_m$, γ_n эта задача рассматривалась в [3, 4]).

2. В резонансном приближении система уравнений для элементов матрицы плотности имеет вид

$$\left. \begin{aligned} \left(\frac{\partial}{\partial t} + v \frac{\partial}{\partial z} + \gamma_0 \right) \rho_{mm} &= i [(G e^{-i\omega t} + G_p e^{-i\omega_p t}) e^{ikz} + \text{к. с.}] (\rho_{mn}^* - \rho_{mn}), \\ \left(\frac{\partial}{\partial t} + v \frac{\partial}{\partial z} \right) \rho_{nn} &= -i [(G e^{-i\omega t} + G_p e^{-i\omega_p t}) e^{ikz} + \text{к. с.}] \times \\ &\quad \times (\rho_{mn}^* - \rho_{mn}) + \gamma_0 \rho_{mm}, \\ \left(\frac{\partial}{\partial t} + v \frac{\partial}{\partial z} + i\omega + \Gamma \right) \rho_{mn} &= i [(G e^{-i\omega t} + G_p e^{-i\omega_p t}) e^{ikz} + \text{к. с.}] \times \\ &\quad \times (\rho_{mm} - \rho_{nn}). \end{aligned} \right\} \quad (4)$$